

کنترلر پیش بین غیرخطی برای راکتور پیوسته ناپایدار

مسعود خاکسار طرقی⁺، محمد شاهرخی*

تهران، دانشگاه صنعتی شریف، دانشکده مهندسی شیمی و نفت، صندوق پستی ۹۴۵۶ - ۱۱۳۶۵

چکیده: در این مقاله رفتار مدار بسته سامانه‌های غیرخطی ناپایدار با استفاده از کنترلر پیش بین مورد بررسی قرار گرفته است. پایداری سامانه مدار بسته در حضور محدودیت روى ورودی سامانه مطرح شده و قصیه‌های مربوطه بیان شده است. مسئله در دو حالت بررسی شده است. ابتدا فرض شده متغیرهای حالت در دست است و سپس پایداری در صورت عدم دسترسی به متغیرهای حالت و استفاده از مشاهده‌گر بررسی شده است. از آنجا که سرعت همگرائی مشاهده‌گر در عملکرد سامانه مدار بسته موثر است، در حالت دوم از یک مشاهده‌گر با بهره بالا استفاده شده و اثر بهره مشاهده‌گر بر عملکرد سامانه از طریق شبیه سازی نشان داده شده است.

واژه‌های کلیدی: پایداری حلقه بسته، راکتور همزن دار، کنترلر پیش بین، مشاهده‌گر با بهره بالا.

KEY WORDS: Closed-loop stability, Stirred reactor, Predictive control, High gain observer.

مقدمه

رفتارهای غیرخطی شدید دارند، MPC مبتنی بر مدل خطی توصیه نمی‌شود. استفاده از کنترل کننده‌های مبتنی بر مدل خطی برای چنین سامانه‌هایی باعث انحراف از عملکرد مطلوب سامانه کنترل می‌شود. تعداد زیادی از روش‌های پیش بین غیرخطی مبتنی بر مدل‌های سامانه در فضای حالت می‌باشند. در این نوع سامانه‌ها به طور معمول از کنترلر پس خور حالات^(۱) استفاده می‌شود. یکی از نکته‌های قابل توجه و مهم در رابطه با این کنترلرها، بحث پایداری مدار بسته می‌باشد. بسته به این که افق پیش‌بینی متناهی و یا نامتناهی باشد روش اثبات آن متفاوت است. در کنترل پیش‌بین با افق نامتناهی^(۲) اثبات پایداری به کمک یک تابع لیابونوف که همان تابع هدف می‌باشد، صورت می‌گیرد [۲]. عیب این کنترلر، حجم زیاد محاسبات و عملی نبودن آن به دلیل در نظر گرفتن افق بی‌نهایت می‌باشد. روش دیگر برای تضمین پایداری در نظر گرفتن تابع هدف با افق محدود است [۳-۶]. برای این منظور می‌توان از قیدهای تساوی یا نامساوی و یا جمله‌های جریمه مناسب

+E-mail: shhrokhi@sharif.edu

(۱) Model predictive control

(۲) State feedback controller

در کنترل پیش‌بین^(۱) از یک مدل دینامیکی برای پیش‌بینی و بهینه سازی عملکرد کنترلر استفاده می‌شود. اولین الگوریتم MPC در سال ۱۹۷۰ میلادی توسعه یافت [۱]. در واقع در این الگوریتم، رفتار آینده فرایند با استفاده از مدل تخمین زده می‌شود و در هر بازه کنترلی با حل یک مسأله بهینه سازی یک دنباله از متغیر کنترل کننده به منظور بهینه کردن رفتار کنترلر محاسبه می‌شود. اولین عنصر از این دنباله به فرایند اعمال می‌شود و این مسأله در هر بازه کنترلی تکرار می‌شود. یکی از ویژگی‌های مهم کنترل پیش‌بین، در نظر گرفتن قیدها روی ورودی، خروجی و حالت‌های سامانه می‌باشد [۲]. این الگوریتم می‌تواند برای سامانه‌های خطی و غیرخطی، مینیمم فاز و غیرمینیمم فاز به کار رود. از این نوع کنترل کننده می‌توان برای کنترل فرایندهای شیمیابی پیچیده استفاده نمود، اما استفاده از مدل پیش‌بین خطی کاربرد آن را به سامانه‌هایی که دارای رفتار غیرخطی ملایم‌اند، محدود می‌نماید. برای فرایندهایی مانند برج تقطیر با خلوص بالا، فرایند خنثی‌سازی pH، فرایندهای شیمیابی که در ذات

* عهده دار مکاتبات

(۳) Infinite horizon control

بخش نظری

کنترل پیش بین غیرخطی با پس خور حالات

مدل سامانه در فضای حالت به صورت زیر فرض می‌شود.

$$\begin{cases} \dot{x} = f(x) + g(x)u \\ y = h(x) \end{cases} \quad (1)$$

تابع هدفی که در نظر گرفته می‌شود، یک تابع هدف با افق محدود و تابعیت از حالت‌ها و نرخ تغییرهای ورودی می‌باشد. شکل کلی آن به صورت زیر است:

$$V_n(x, u) = \sum_{k=0}^{N-1} l(x(k), \Delta u(k)) + F(x(N)) \quad (2)$$

$$l(x, u) = x^T Q x + \Delta u^T R \Delta u \quad (3)$$

در اینجا محدودیتی که اعمال می‌شود در ورودی به صورت $\Omega \in \mathbb{U}$ می‌باشد که Ω ناحیه است که u در آن تعریف می‌شود و بستگی به شرایط مسئله دارد. حل مسئله منجر به $\{u(0), \dots, u(N-1)\} = \{u\}$ می‌شود، که از بهینه کردن تابع هدف به دست می‌آید. با اعمال جواب بهینه u ، توالی بهینه x به صورت

$$x = k_N(x) = u^*(0, x) \quad (4)$$

این محاسبه‌ها در بازه کنترل بعدی تکرار می‌شود. در ادامه شرایطی بررسی می‌شود که تحت آن شرایط، این قانون کنترل بتواند پایداری مدار بسته را به طور مجانبی تأمین کند.

فرض

سامانه خطی شده زیر در نظر گرفته می‌شود. این سامانه پایدار شونده گفته می‌شود اگر بتوان k را به گونه‌ای یافت که $A + kB$ پایدار باشد [۱۴]:

$$x(k+1) = Ax(k) + Bu(k) \quad (5)$$

در این معادله

$$A = \frac{\partial f}{\partial x} \Big|_{x=x_s}, \quad B = \frac{\partial g}{\partial u} \Big|_{x=x_s} \quad (6)$$

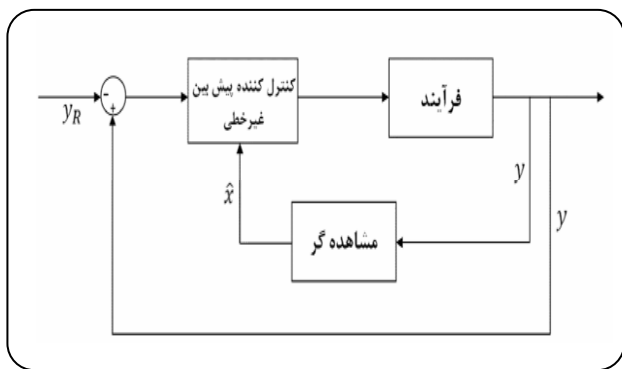
(۱) Zero terminal equality constraint

(۲) Terminal constraint set

استفاده کرد و آن‌ها را به تابع هدف اضافه نمود. این قیدها هدفشان فقط پایداری است که به آنها قیدهای پایداری گفته می‌شود [۷]. یکی از ساده‌ترین این قیدها، قید تساوی نهایی صفر^(۱) می‌باشد که به انتهای افق پیشگویی افزوده می‌شود [۸]. از دیگر قیدهایی که می‌توان به تابع هدف اضافه نمود قید ناحیه نهایی^(۲) است. در این نوع قید، انتهای افق پیشگویی باید در داخل این ناحیه قرار گیرد و دیگر لازم نیست که برابر صفر باشد [۴]. یکی دیگر از راه‌های تضمین پایداری براى کنترل پیش بین غیرخطی (NMPC) در حالت افق محدود، استفاده از جمله جریمه در تابع هدف است. این دو قید باید به گونه‌ای انتخاب شوند که پایداری حلقه بسته تضمین شود. در سال ۲۰۰۰ میلادی Mayne و همکاران نشان دادند که ۳ عامل جمله جریمه، ناحیه نهایی و کنترل محلی تأثیر مستقیم روی پایداری حلقه کنترل دارند. آن‌ها نشان دادند که با انتخاب مناسب این سه عنصر می‌توان پایداری NMPC را ثابت نمود [۲]. در آن مقاله فرض شده است که تمام حالت‌ها، موجود می‌باشند ولی در عمل همیشه قادر به اندازه گیری تمام حالت‌ها به دلایل شرایط عملیاتی و اقتصادی نیستیم. بدین منظور از تخمین زننده‌ها استفاده می‌شود. مشاهده گرهای متفاوتی را می‌توان برای تخمین حالت‌ها به کار برد. مهمترین آنها عبارت اند از مشاهده گر با پهنه بالا [۹]، تخمین زننده با مرتبه کاهش یافته^(۳) [۱۰] و فیلتر کالمن توسعه یافته [۱۱]. هر کدام از این تخمین زننده‌ها دارای پارامترهای تنظیم ویژه‌ای می‌باشند که می‌توان به وسیله آن سرعت همگرایی مشاهده گر را تنظیم نمود. یکی از مسئله‌های مهمی که در رابطه با استفاده از کنترلر و مشاهده گر به طور همزمان مطرح می‌شود بحث پایداری مدار بسته می‌باشد. روش‌های متفاوتی برای پایداری ارایه شده است [۱۲، ۱۳]. در این مقاله به بررسی پایداری حلقه بسته یک راکتور ناپایدار CSTR با کنترل پیش بین غیرخطی پرداخته می‌شود. در ابتدا فرض می‌شود که متغیرهای حالت‌ها موجود هستند سپس با استفاده از یک مشاهده گر، حالت‌ها تخمین زده می‌شوند.

در این مقاله ابتدا کنترل پیش بین غیرخطی و تعریف‌ها و قضیه‌های مربوط به پایداری بیان می‌شود. سپس کنترل پیش بین غیرخطی در حالت پس خور خروجی بررسی شده و فرضیه‌ها و قضیه مربوط به پایداری بیان می‌شود. در بخش بعدی توصیف سامانه و نتیجه‌های شبیه‌سازی آورده شده و در بخش پایانی نتیجه گیری ارایه می‌شود.

(۳) Reduce order observer



شکل ۱- کنترل کننده پیش‌بین همراه با مشاهده‌گر.

بهره k را یافت که $A+kB$ پایدار باشد. به این ترتیب فرضیه‌های مورد نظر محقق شده و پایداری مداربسته ثابت می‌شود.

کنترل پیش‌بین غیرخطی همراه با مشاهده‌گر حالت

در این حالت فرض می‌شود که تمام متغیرهای حالت در اختیار نیستند و برخی از آنها توسط مشاهده‌گر تخمین زده می‌شوند.تابع هدفی که در این حالت استفاده می‌شود، همانتابع هدف معادله (۲) می‌باشد با این تفاوت که به جای متغیرهای حالت از تخمین آنها استفاده می‌شود. نمودار جعبه‌ای سامانه کنترل در شکل ۱ نشان داده شده است.

مشاهده‌گر با بهره بالا

یکی از مسئله‌های مهمی که در کنترل سامانه‌های فیزیکی مطرح می‌شود داشتن حالت‌های سامانه است. بسیاری از کنترل کننده‌های سامانه می‌باشند که از جمله آنها کنترل کننده که تابع حالت‌های سامانه می‌باشد که از جمله آنها کنترل کننده خطی‌ساز دقیق و یا کنترل کننده پیش‌بین غیرخطی را می‌توان نام برد. اما مatasفانه در بسیاری از موارد نمی‌توان به علت شرایط کاری و یا شرایط اقتصادی تمام حالت‌های سامانه را اندازه‌گیری نمود. در چنین شرایطی به سراغ ابزاری می‌رویم که بتوان از روی حالت‌های اندازه‌گیری شده و یا خروجی، حالات غیرقابل دسترس را تخمین‌زد. روش‌های متفاوتی برای طراحی یک مشاهده‌گر غیرخطی ارایه شده است. یکی از این روش‌ها استفاده از مشاهده‌گر با بهره بالا^(۱) می‌باشد. استفاده از این مشاهده‌گر منوط به پیدا کردن یک تابع انتقال مناسب برای تبدیل سامانه به شکل کانونی می‌باشد. در ادامه به بیان روش طراحی این مشاهده‌گر پرداخته می‌شود.

(۱) High gain observer

فرض می‌شود که سامانه پایدار شونده باشد. ۳ عنصر در پایداری کنترل پیش‌بین غیرخطی نقش اساسی دارند که عبارتند از (\circ) X_f و کنترل محلی k . اگر این سه عنصر به درستی انتخاب شوند آنگاه پایداری مداربسته تضمین می‌شود [۴]. قضیه [۷]: فرض کنید که جمله جریمه، ناحیه نهایی و کنترل محلی بتوانند شرایط زیر را محقق نمایند

۱- ناحیه نهایی یک ناحیه بسته بوده و شامل مبدأ

$$\forall x \in X_f, \quad kx \in \Omega \quad \text{۲}$$

۳- X_f یک ناحیه مثبت و تغییر ناپذیر برای سامانه مورد نظر باشد.

$$X_f = \{x \mid x^T Px < \alpha\} \quad (7)$$

$$((F^* + I)(x, k(x))) \leq 0, \quad \forall x \in X_f$$

که $F(\circ)$ یک تابع لیاپانوف محلی می‌باشد. با برقراری فرض‌ها، ثابت می‌شود که مشتق تابع لیاپانوف V منفی است و سپس به طور نمایی پایدار می‌باشد. X_f بزرگترین ناحیه‌ای است که می‌توان در نظر گرفت به طوری که به ازای هر دسته از حالت در این ناحیه $kx \in \Omega$ برقرار باشد. نحوه بدست آوردن این ناحیه در مرجع [۴] داده شده است. شکل‌های گوناگونی برای جمله جریمه می‌توان در نظر گرفت. این تابع به عنوان یک تابع لیاپانوف محلی برای سامانه خطی می‌باشد. ثابت می‌شود که اگر F به عنوان لیاپانوف برای سامانه خطی می‌باشد، با قانون کنترل kx باشد فرضیه‌های ۳ و ۴ محقق می‌شوند [۷]. در اینجا عبارت زیر به عنوان جمله جریمه در نظر گرفته شده و نشان داده می‌شود که سامانه خطی پایدار است.

$$F = x^T Px \quad (8)$$

$$\Delta F = x(k+1)^T Px(k+1) - x^T Px =$$

$$x^T A_1^T P A_1 x - x^T (A_1^T P A_1 - P)x$$

$$A_1^T P A_1 - P = -Q^*$$

که در آن

$$Q^* = A + k^T R k \quad (9)$$

معادله (۸) به عنوان معادله لیاپانوف شناخته می‌شود و با حل این معادله، ماتریس مثبت و متقابل P به دست می‌آید و تابع F به عنوان یک تابع لیاپانوف برای سامانه خطی پایدار در نظر گرفته می‌شود. وجود کنترل محلی مشروط به این می‌باشد که سامانه خطی شده پایدارشونده باشد، به عبارت دیگر بتوان

برای اثبات پایداری وقتی از مشاهده‌گر استفاده می‌شود فرضیه‌های زیر در نظر گرفته می‌شود [۱۶].

۱- ورودی متعلق به فضای R^m می‌باشد که m تعداد ورودی‌هاست و U که محدوده ورودی را نشان می‌دهد شامل u_s می‌باشد.

۲- اگر z_{su} شرایط متناظر با نقطه تعادل باشند، بایدتابع φ به ازای آنها صفر شود و به علاوه φ یک تابع لیپ شیت باشد.

۳- تابع ۱ در تابع هدف مربوط به کنترلر به ازا شرایط نقطه تعادل صفر شود، یعنی $0 = (0, 0)$ و به ازای سایر مقدارهای آن مثبت باشد.

۴- کنترلر (x) در صورت موجود بودن حالت‌ها بتواند سامانه را به طور مجانبی پایدار کند و به علاوه لیپ شیت باشد.

تعریف: فرض کنید x_{sf} پروفیل حاصل از پسخور حالات و x_e پروفیل حاصل از پسخور خروجی توسط یک کنترلر غیرخطی باشد

که با مشاهده‌گر عمل می‌کند. بازیابی عملکرد با توجه به ϵ به صورت زیر تعریف می‌شود.

فرض کنید x_{sf} و x_e از یک مقدار اولیه یکسان شروع شده باشند. بازیابی عملکرد با توجه به مقدار ϵ به این معنا است که برای هر δ مثبت وجود داشته باشد یک ϵ^* طوری که برای همه $\epsilon < \epsilon^*$ داشته باشیم:

$$\|x_e - x_{sf}\| \leq \delta \quad \forall t > 0, \forall \hat{x} \in \Gamma \quad (17)$$

در آن Γ یک ناحیه دلخواه اما ثابت و ممکن برای شرایط اولیه مشاهده‌گر می‌باشد.

با توجه به این تعریف برای بازیابی عملکرد، از قضیه زیر استفاده می‌شود.

قضیه: اگر فرضیه‌های ۱ تا ۴ برقرار باشد و مقدارهای اولیه مشاهده‌گر طوری انتخاب شد که در ناحیه Γ قرار بگیرد آنگاه وجود دارد یک ϵ^* به طوری که برای هر $\epsilon \leq \epsilon^*$ $\epsilon < \epsilon^*$ سامانه مدار بسته به طور مجانبی پایدار می‌باشد و به علاوه عملکرد کنترلر NMPC با پس خور حالات به وسیله کنترلر NMPC با پس خور خروجی قابل حصول است [۱۷].

نتیجه‌های شبیه‌سازی کنترل راکتور همزن دار

در این بخش کنترل یک راکتور شیمیایی با استفاده از کنترل پیش‌بینی غیرخطی مورد بررسی قرار می‌گیرد.

راکتورهای همزن دار یکی از انواع راکتورهای متداولی هستند که در صنعت به طور فراوان مورد استفاده قرار می‌گیرند. کنترل این نوع راکتورها همیشه مورد توجه پژوهش‌گران بوده است. این راکتور می‌تواند بسته به نوع واکنش و پارامترهای مربوط به آن

اگر سامانه مشاهده‌پذیر باشد می‌توان سامانه (۱) را به شکل کانونی زیر انتقال داد [۱۵].

$$z = \Phi(x) \Rightarrow x = \Phi^{-1}(z) \quad (18)$$

$$\dot{z} = Az + B\varphi(z, u)$$

$$y = cz$$

که در آن

$$A = \begin{bmatrix} 0 & 1 & 0 & \dots & 0 \\ 0 & 0 & 1 & \dots & 0 \\ 0 & \dots & \dots & \dots & 0 \end{bmatrix}, \quad B = \begin{bmatrix} 0 \\ \cdot \\ \cdot \\ \cdot \\ 1 \end{bmatrix}, \quad c = [1 \ 0 \ \dots \ 0] \quad (19)$$

بردار انتقال به صورت زیر است:

$$\Phi(x) = \begin{bmatrix} h(x) \\ L_f h(x) \\ L_f^{n-1} h(x) \end{bmatrix} \quad (20)$$

با توجه به تغییر مختصات و فرم جدید سامانه، مشاهده‌گر با بهره بالا به صورت زیر می‌باشد:

$$\hat{z} = A\hat{x} + B\hat{\varphi}(\hat{z}, u) + H(y - c\hat{z}) \quad (21)$$

که در این معادله

$$H = \text{blockdiag}[H_1, \dots, H_p] \quad (22)$$

$$H_i = \begin{bmatrix} \alpha_i / \epsilon \\ \alpha_i / \epsilon^r \\ \cdot \\ \cdot \\ \alpha_i / \epsilon^{ri} \end{bmatrix} \quad (23)$$

پارامتر ϵ مثبت و ثوابت α_i طوری تعیین می‌شود که ریشه‌های چند جمله‌ای زیر در طرف چپ محور موهومی قرار گیرند. به عبارت دیگر چند جمله‌ای زیر پایدار باشد.

$$s^{ri} + \alpha_i s^{ri-1} + \dots + \alpha_{ri} = 0 \quad (24)$$

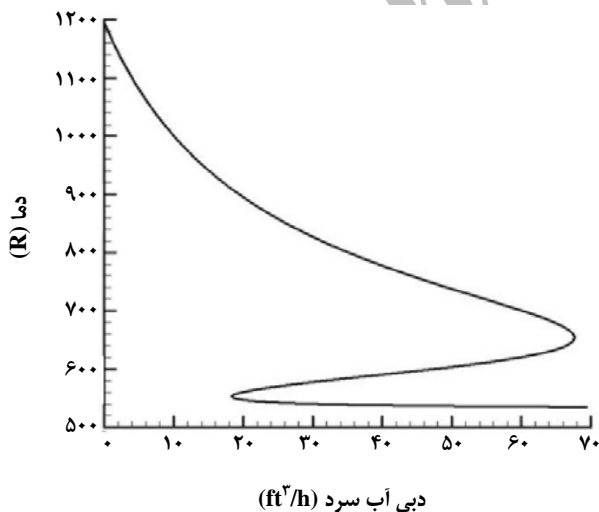
پارامتر ϵ یک پارامتر تنظیم برای تعیین سرعت همگرایی مشاهده‌گر می‌باشد. هرچه مقدار این پارامتر کوچکتر باشد سرعت همگرایی بالاتر است.

جدول ۱- پارامترها و شرایط عملیاتی سامانه.

$C_A = 0,3089 \text{ mol ft}^{-3}$	$T_0 = 530^\circ \text{ R}$
$T = 613,9735 \text{ R}$	$R = 1,99 \text{ Btu mol}^{-1} \text{ R}^{-1}$
$V = 48 \text{ ft}^3$	$U = 150 \text{ Btu h}^{-1} \text{ ft}^{-3} \text{ R}^{-1}$
$T_{j0} = 530^\circ \text{ R}$	$A = 150 \text{ ft}^2$
$C_{A0} = 0,5 \text{ mol ft}^{-3}$	$C_p = 0,75 \text{ Btu lb}_m^{-1} \text{ R}^{-1}$
$E = 29900 \text{ Btu mol}^{-1}$	$C_{pj} = 1 \text{ Btu lb}_m^{-1} \text{ R}^{-1}$
$F = 40 \text{ ft}^3 \text{ h}^{-1}$	$\rho_c = 62,5 \text{ lb}_m \text{ ft}^{-3}$
$F_j = 56,62 \text{ ft}^3 \text{ h}^{-1}$	$K_0 = 7,0 \times 10^{-1} \text{ mol}^{-1} \text{ h}^{-1}$
$T_j = 602,605 \text{ R}$	$\Delta H = 50000 \text{ Btu mol}^{-1}$
$\rho = 50 \text{ lb}_m \text{ ft}^{-3}$	$V_j = 16 \text{ ft}^3$

جدول ۲- مشخصه‌های نقاط پایا.

$T(R)$	$T_j(R)$	$C_A(\text{mol ft}^{-3})$	Riftar سامانه
535,8893	535,09	0,4865	پایدار
613,9735	602,605	0,3089	ناپایدار
713,2778	688,437	0,08309	پایدار



شکل ۲- حالت‌های پایای دمای راکتور به ازاء دبی جریان سیال مبرد.

(۱) Multiplicity

در شرایط مختلف عملیاتی همچون پایدار و یا ناپایدار قرار گیرد و دارای چند نقطه تعادل باشد^(۱). الگوریتم‌های مختلف کنترل از قبیل خطی‌ساز دقیق یا کنترل غیرخطی تطبیقی برای این راکتور استفاده شده است [۱۹,۲۰]. فرض می‌شود که یک واکنش درجه ۲ به صورت زیر در راکتور انجام می‌شود:



موازنۀ جرم برای جزء A:

$$\frac{dc_A}{dt} = \frac{F}{V}(c_{A0} - c_A) - Kc_A^r \quad (19)$$

موازنۀ انرژی برای راکتور:

$$\frac{dT}{dt} = \frac{F}{V}(T_0 - T) + \frac{\Delta HKc_A^r}{\rho c_p} - \frac{UA}{\rho V c_p}(T - T_j) \quad (20)$$

موازنۀ انرژی برای ژاکت:

$$\frac{dT_j}{dt} = \frac{F_j}{V_j}(T_{j0} - T_j) + \frac{UA}{\rho_j c_{pj} V_j}(T - T_j) \quad (21)$$

در قالب معادله (۱) توابع f و g به صورت زیر است.

$$f(x) = \begin{bmatrix} \frac{F}{V}(c_{A0} - c_A) - Kc_A^r \\ \frac{F}{V}(T_0 - T) + \frac{\Delta HKc_A^r}{\rho c_p} - \frac{UA}{\rho V c_p}(T - T_j) \\ \frac{UA}{\rho_j c_{pj} V_j}(T - T_j) \end{bmatrix} \quad (22)$$

$$g(x) = \left[0, 0, (T_{j0} - T_j)/V_j \right], h(x) = T \quad (23)$$

$$x = [C_A, T, T_j], u = F_j$$

هدف، کنترل دمای راکتور حول نقطه تعادل ناپایدار می‌باشد و متغیر کنترل کننده دبی جریان ورودی به ژاکت است. در جدول ۱ پارامترها و شرایط عملیاتی راکتور همزمان دار آورده شده است.

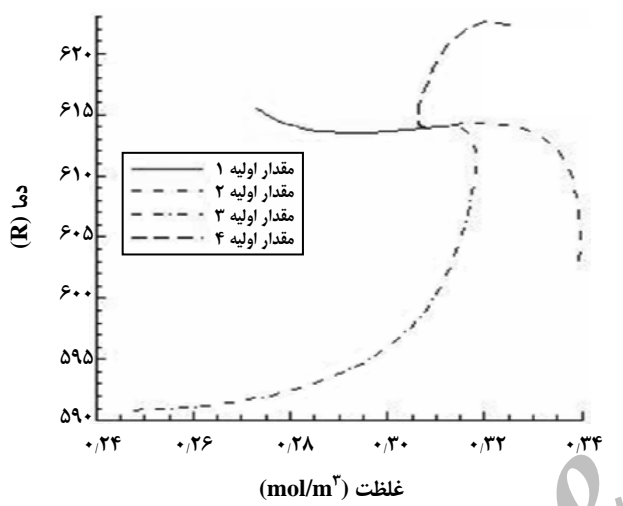
در شکل ۲ Riftar ورودی - خروجی سامانه در حالت‌های پایا رسم شده است. همان طور که مشاهده می‌شود این سامانه دارای ۳ نقطه تعادل می‌باشد که نقطه میانی، یک نقطه تعادل ناپایدار است. در جدول ۲ مشخصات هر سه نقطه ذکر شده است.

در اینجا هدف نشان‌دادن پایداری حلقه بسته در اطراف نقطه ناپایدار می‌باشد. قیدی که در نظر گرفته شده است روی ورودی می‌باشد که به صورت زیر است:

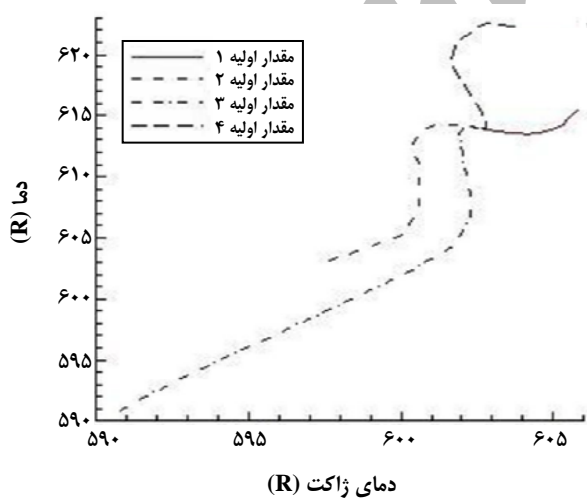
$$\Omega = \{u \in R | 0 \leq u \leq 100\}$$

جدول ۳- شرایط اولیه سامانه.

شماره مورد شبیه‌سازی	$[C_A (°) \quad T (°) \quad T_j (°)]$
۱	$[0,272 \quad 615,45 \quad 60,5,83,0,2]$
۲	$[0,339,5 \quad 60,3,0,85 \quad 59,7,65]$
۳	$[0,247,6 \quad 59,0,86 \quad 59,0,76]$
۴	$[0,325,1 \quad 622,374 \quad 60,3,37]$



شکل ۳- مسیر حالات دما بر حسب غلظت برای شرایط اولیه متفاوت.



شکل ۴- مسیر حالات دمای ژاکت بر حسب دمای راکتور برای شرایط اولیه متفاوت.

ماتریس‌های A و B که از خطی سازی و گسسته‌سازی معادله‌های سامانه حاصل شده‌اند، عبارتند از:

$$A = \begin{bmatrix} 0,9012 & -0,0002916 & -6,24 \times 10^{-5} \\ 63,26 & 0,9847 & 0,3363 \\ 24,45 & 0,6072 & 0,4204 \end{bmatrix} \quad B = \begin{bmatrix} 5,25 \times 10^{-4} \\ -0,04621 \\ -0,1407 \end{bmatrix}$$

برای سامانه خطی شده بالا یک کنترلر پایدارکننده با پسخور حالات با بهره زیر به دست آمده است:

$$k = [0,1 \quad 4,52 \quad 4,55]$$

حال با انتخاب ماتریس‌های Q و مقدار حقیقی R، از حل معادله لیاپونوف ماتریس P حاصل می‌شود.

$$Q = \begin{bmatrix} 0,1 & 0 & 0 \\ 0 & 3 & 0 \\ 0 & 0 & 1 \end{bmatrix} \quad R = 0,115$$

$$P = \begin{bmatrix} 0,1053 & 1,2733 & 0,5684 \\ 1,2733 & 488,6646 & 169,1494 \\ 0,5684 & 169,1494 & 20,1501 \end{bmatrix}$$

اکنون با توجه به تعریف ناحیه نهایی با انجام مسئله بهینه‌سازی که از الگوریتم ژنتیک نرم افزار Matlab بدين منظور استفاده شده است، وسیع‌ترین ناحیه که شرایط ۱ و ۲ در آن صادق است به شرح زیر به دست می‌آید.

$$X_f = \left\{ x \in R^3 \mid x^T P x \leq 3,26 \times 10^{-8} \right\}$$

دیگر پارامترهای کنترلر یعنی افق کنترل و افق پیش‌بین به ترتیب ۱۰ و ۵ انتخاب شده است. سامانه از ۴ مکان متفاوت راه‌اندازی شده که در جدول ۳ این حالات آورده شده است. سامانه مدار بسته شبیه سازی شده و نحوه تغییر حالات های سامانه برای شرایط اولیه متفاوت در شکل‌های ۳ و ۴ نمایش داده شده است. در شکل‌های ۵ الی ۷ رفتار دینامیکی حالات نشان داده شده است.

شکل ۳ نحوه تغییرات دمای راکتور را بر حسب غلظت جزء A برای شرایط اولیه متفاوت و (چهار حالت) نشان می‌دهد. در شکل ۴ نحوه تغییرهای دمای راکتور بر حسب دمای ژاکت برای همین شرایط نشان داده شده است. همانگونه که ملاحظه می‌شود، وقتی شرایط اولیه تغییر می‌کند، مسیر تغییرهای متفاوتی سامانه

جدول ۴- پارامترهای به کار رفته در شبیه سازی.

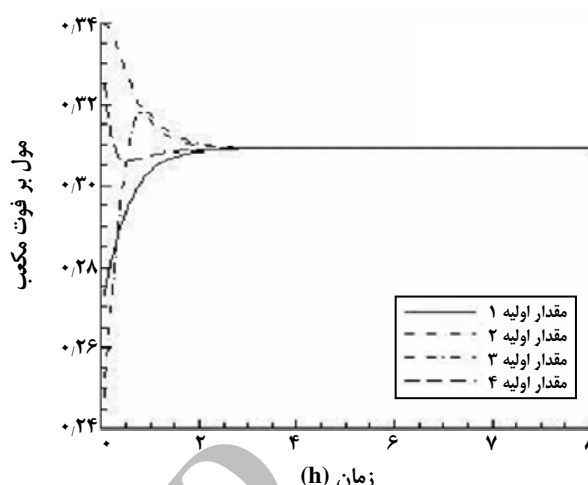
شرایط اولیه راکتور	$[C_A, T, T_j] = [0.3, 611/9735, 613/602]$
شرایط اولیه مشاهده گر	$[\hat{C}_A, \hat{T}, \hat{T}_j] = [0.26, 615/9735, 595/602]$
ضرایب بھره مشاهده گر	$\alpha_{11} = 1/9375, \alpha_{12} = 0.8984, \alpha_{13} = 0.0488$ $\alpha_{21} = 1/375, \alpha_{22} = 0.4492, \alpha_{23} = 0.366$

نیز عوض می‌شود. پاسخ گذرای متغیرهای حالت (غلظت جزء A، دمای راکتور و دمای ژاکت) برای چهار شرط اولیه انتخاب شده در شکل‌های ۵ الی ۷ نشان داده شده است.

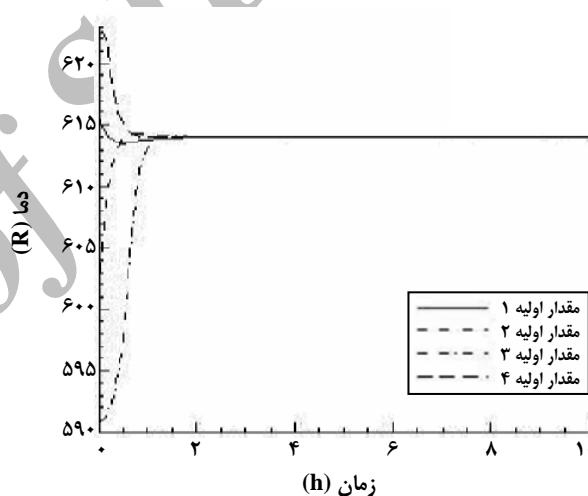
همان‌گونه که از شکل‌های ۳ تا ۷ قابل مشاهده است، سامانه مدار بسته با شرایط اولیه متفاوت پایدار بوده و به مبدا همگرا می‌شود و صحت قضایای مطرح شده تأیید می‌شود. در حالت دوم فرض می‌شود که متغیرهای قابل اندازه‌گیری دمای راکتور و ژاکت می‌باشد و غلظت توسط یک مشاهده گر با درجه کامل و با بھره بالا تخمین زده می‌شود. در جدول ۴ پارامترهای استفاده شده در شبیه‌سازی ارایه شده است.

شکل‌های ۸ و ۹ نحوه عملکرد مشاهده گر به ازای دو مقدار متفاوت ۴ را نشان می‌دهد. همان‌طور که ملاحظه می‌شود با کوچک شدن مقدار ۴ که نتیجه آن بزرگ شدن بھره مشاهده گر می‌باشد، سرعت همگرایی مشاهده گر بیشتر می‌شود.

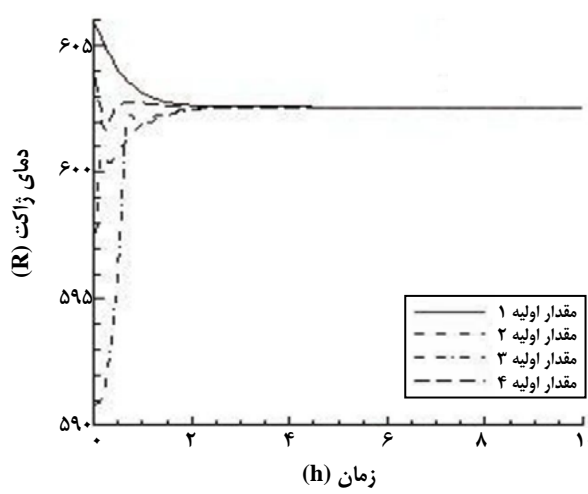
در شکل ۱۰ عملکرد کنترل‌بیه ازای مقدارهای متفاوت ۴ نشان داده شده است. همان‌طور که مشاهده می‌شود با بزرگ شدن بھره مشاهده گر، عملکرد کنترل در رساندن به مقدار مقرر بهبود یافته است. همان‌طور که نتیجه‌ها نشان می‌دهد کنترل به خوبی توانسته است پایداری مدار بسته را در اطراف نقطه ناپایدار در هر دو حالت تضمین کند. از شبیه‌سازی‌های انجام شده نتیجه‌های زیر حاصل می‌شود. ۱- صحت قضایی مطرح شده در مرجع [۷] بررسی شده و ملاحظه می‌شود با کنترل کننده طراحی شده می‌توان سامانه را از شرایط اولیه مختلف حول نقطه تعادل ناپایدار، کنترل نمود. ۲- در صورت در دسترس نبودن بعضی از متغیرهای حالت، در صورت مشاهده پذیر بودن سامانه، با استفاده از مشاهده گر می‌توان سامانه را کنترل کرد. چنانچه از مشاهده گر با بھره بالا استفاده شود با افزایش بھره، عملکرد مشاهده گر بهبود یافته و در نتیجه عملکرد سامانه مدار بسته نیز ارتقاء می‌یابد.



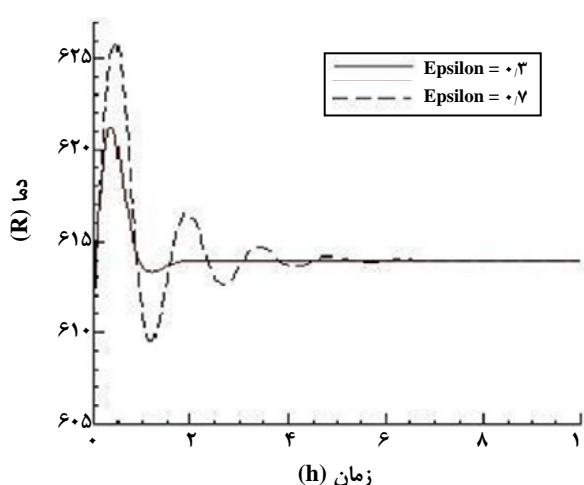
شکل ۵- حالت گذرای غلظت.



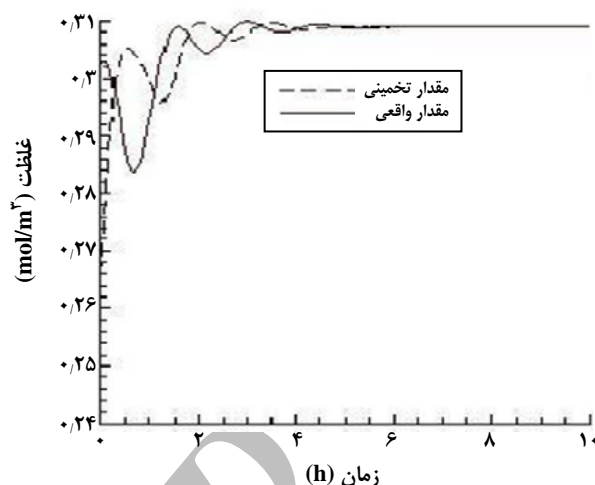
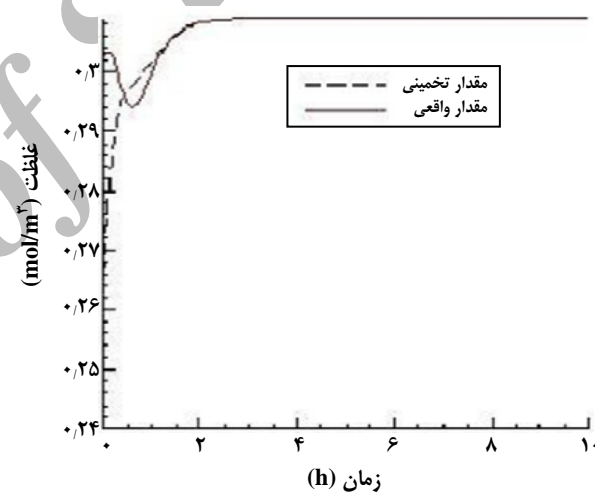
شکل ۶- حالت گذرای دمای راکتور.



شکل ۷- حالت گذرای دمای ژاکت.



شکل ۱۰ - عملکرد کنترلر همراه با مشاهده‌گر در کنترل دمای راکتور.

شکل ۸ - عملکرد مشاهده‌گر به از $\epsilon=0.7$.شکل ۹ - عملکرد مشاهده‌گر به از $\epsilon=0.3$.

نتیجه‌گیری

در این مقاله استفاده از کنترل پیش بین برای یک فرایند غیر خطی ناپایدار مورد بررسی قرار گرفت. فرایند مورد نظر یک راکتور پیوسته می‌باشد که دارای نقطه‌های تعادل متعدد است و هدف کنترل آن در نقطه تعادل ناپایدار می‌باشد. قضیه‌های پایداری حلقه بسته بیان شده و صحت آنها از طریق شبیه‌سازی نشان داده شده است. ابتدا فرض شده کلیه متغیرهای حالت در دست است و سپس فرض شده از یک مشاهده‌گر با بهره بالا جهت تخمین غلظت استفاده می‌شود. از طریق شبیه‌سازی نشان داده شده است که با افزایش بهره مشاهده‌گر سرعت همگرائی آن افزوده شده که باعث بهبود عملکرد پاسخ مدار بسته می‌شود. شرط پایداری سامانه کنترل به همراه مشاهده‌گر بیان شده و از طریق شبیه‌سازی مورد بررسی قرار گرفته است.

تاریخ دریافت: ۱۳۸۷/۱۰/۱۶ ، تاریخ پذیرش: ۱۳۸۸/۱۰/۲۸

مراجع

- [1] Henson M.A., Nonlinear Model Predictive Control: Current Status and Future Direction, *Computer and Chemical Engineering*, **23**, p. 187 (1998).
- [2] Slotin J.J., Li W., "Applied Nonlinear Control", Prentice Hall, New Jersey, USA, (1991).
- [3] Almir M., Bornard G., Stability of A Truncated Infinite Constrained Receding Horizon Scheme: The General Discrete Nonlinear Case, *Automatica*, **31**(9), p.1353 (1995).
- [4] Chen H., Allgower F., A Quasi-Infinity Horizon Nonlinear Model Predictive Control Scheme with Guaranteed Stability, *Automatica*, **34**(10), p.1205 (1998).

- [5] Oliveira Kothare S.de., Morari M., Contractive Model Predictive Control for Constrained Nonlinear System, *IEEE Trans. Automat. Contr.*, **45**(6), p. 1053 (2000).
- [6] Jadbabaie A., Yu J., Hauser J., Unconstrained Receding Horizon Control for Nonlinear System, *IEEE Trans. Automat. Contr.*, **46**(5), p. 776 (2001).
- [7] Mayne D.Q., Rawling J.B., Rao C.V., Scokaert P.O.M., Constrained Model Predictive Control: *Stability and Optimality, Automatica*, **26**(6), p. 789 (2000).
- [8] Mayne D.Q., Michalska H., Receding Horizon Control of Nonlinear System, *IEEE Trans. Automat. Contr.*, **35**(7), p. 814 (1990).
- [9] Gauthier J., Hammouri H., Othman S., A Simple Observer for Nonlinear Systems. Applications to Bioreactor, *IEEE Transactions on Automatic Control*, **37**(6), p. 875 (1992).
- [10] Soroush M., Nonlinear State-Observer Design with Application to Reactor, *Chemical Engineering Science*, **52** (3), p. 378 (1997).
- [11] Stephanopoulos G., San K.Y., Studies on On-Line Bioreactor Identification, *Biotechnology and Bioengineering*, **26**, p. 1176 (1984).
- [12] Allgower F., Badgwell T.A., Qin J.S., Rawlings J.B., Wright S.J., Nonlinear Predictive Control and Moving Horizon Estimation-An Introductory Overview, in: P.M. Frank (Eds), Advances in Control, *Highlights of ECC'99, Springer*, p.391 (1999).
- [13] Magni L., Nicolawo G.De, Scattolini R., "Stability and Robustness of Nonlinear Receding Horizon Control, in: A.Zheng, F.Allgower(Eds), Nonlinear Predictive Control", Birkhauser, p. 3-23 (2000).
- [14] Magni L., Nicolawo G.De, Magnani L., Scattolini R., A Stabilizing Model-Based Predictive Control Algorithm for Nonlinear Systems, *Automatica*, **37**, p. 1351 (2001).
- [15] Isidori A., "Nonlinear Control System", third ed. Spring, London, UK, (1995).
- [16] Imsland L., Findeisen R., Bulinger E., Allgower F., Foss B., A Note on Stability, Robustness and Performance of Output Feedback Nonlinear Model Predictive Control, *Journal of Process Control*, **13**, p. 633 (2003).
- [17] Atassi A.N., Khalil H.K, A Separation Principle for the Stabilization of Class of Nonlinear Systems, *IEEE Trans. Automatic Control*, **44**(9), p. 1672 (1999).
- [18] UPPAL A., Ray W.H., On the Dynamic Behavior of Continues Stirred Tank Reactors, *Chemical Engineering Science*, **29**, p. 967-985 (1973).
- [19] Salehi S., Shahrokh M., Two Observer Based Nonlinear Control Approaches for Temperature Control of a Class of Continuous Stirred Tank Reactor, *Chemical Engineering Science*, **63**, p. 395 (2008).
- [20] Zhang T., Guay M., Adaptive Nonlinear Control of Continuously Stirred Tank Reactor System, In Proceedings of the "American Control Conference", p. 1274-1277 (2001).